### Fisica dei neutrini: Stato dell'arte

 Nel Modello Standard delle interazioni elettrodeboli esistono 3 tipi di neutrini (3 diversi "sapori"), ognuno dei quali costituisce, con il corrispondente leptone carico, un doppietto di spin isotopico SU(2):

$$\begin{pmatrix} \nu_{e\,L} \\ e_L \end{pmatrix}$$
 ,  $\begin{pmatrix} \nu_{\mu\,L} \\ \mu_L \end{pmatrix}$  ,  $\begin{pmatrix} \nu_{\tau\,L} \\ au_L \end{pmatrix}$ 

I doppietti di isospin sono costituiti dalle parti left-handed (sinistrorse) delle funzioni d'onda dei leptoni :

$$\psi_{\rm L} = \frac{1}{2} (1 - \gamma_5) \psi; \quad \gamma^5 = i \gamma^0 \gamma^1 \gamma^2 \gamma^3$$
.

# Le matrici gamma di Dirac

• Matrici 4x4 che compaiono nell'equazione di Dirac (meccanica quantistica relativistica) e soddisfano le relazioni di anticommutazione  $\{\gamma^\mu,\gamma^\nu\}=2$  g $^{\mu\nu}$ . Usando rappresentazione di Dirac

$$\gamma^{i} = \begin{pmatrix} 0 & \sigma^{i} \\ -\sigma^{i} & 0 \end{pmatrix}; \quad \gamma^{0} = \begin{pmatrix} I & 0 \\ 0 & -I \end{pmatrix}.$$
Matrici  $\sigma$  di Pauli:

$$\sigma_1 \equiv \sigma_x = \begin{pmatrix} 0 & 1 \\ 1 & 0 \end{pmatrix}; \ \sigma_2 \equiv \sigma_y = \begin{pmatrix} 0 & -i \\ i & 0 \end{pmatrix}; \ \sigma_3 \equiv \sigma_z \begin{pmatrix} 1 & 0 \\ 0 & -1 \end{pmatrix} \ . \ \mathsf{Dunque} :$$

$$\gamma^0 = \begin{pmatrix} 1 & 0 & 0 & 0 \\ 0 & 1 & 0 & 0 \\ 0 & 0 & -1 & 0 \\ 0 & 0 & 0 & -1 \end{pmatrix}, \quad \gamma^1 = \begin{pmatrix} 0 & 0 & 0 & 1 \\ 0 & 0 & 1 & 0 \\ 0 & -1 & 0 & 0 \\ -1 & 0 & 0 & 0 \end{pmatrix} \quad \gamma^2 = \begin{pmatrix} 0 & 0 & 0 & -i \\ 0 & 0 & i & 0 \\ 0 & i & 0 & 0 \\ -i & 0 & 0 & 0 \end{pmatrix} \quad \gamma^3 = \begin{pmatrix} 0 & 0 & 1 & 0 \\ 0 & 0 & 0 & -1 \\ -1 & 0 & 0 & 0 \\ 0 & 1 & 0 & 0 \end{pmatrix}$$

$$\gamma^5 := i \gamma^0 \gamma^1 \gamma^2 \gamma^3 = egin{pmatrix} 0 & 0 & 1 & 0 \ 0 & 0 & 0 & 1 \ 1 & 0 & 0 & 0 \ 0 & 1 & 0 & 0 \end{pmatrix} \qquad \psi_{
m L} = rac{1}{2} \, (1 - \gamma_5) \psi \qquad \qquad \psi_{
m R} = rac{1}{2} \, (1 + \gamma_5) \psi$$

# I neutrini e il Modello Standard

 A differenza di ciò che succede per i leptoni carichi, i termini cinetici e di interazione per il neutrino nella Lagrangiana del Modello Standard coinvolgono solo la parte lefthanded della funzione d'onda  $v_{\rm I,L}$  (con l'indice di sapore) e nel modello non è prevista l'esistenza di una parte right handed della funzione d'onda per il neutrino.

# I neutrini e il Modello Standard (2)

• 
$$\mathcal{L}_{cc} = \frac{g}{\sqrt{2}} \left[ \overline{\nu_{l,L}} \gamma^{\mu} l_{L} W_{\mu}^{+} + \overline{l_{L}} \gamma^{\mu} \nu_{l,L} W_{\mu}^{-} \right]$$
, con g costante di accoppiamento di SU(2) :  $\frac{g^{2}}{2} = \frac{e^{2}}{2 \sin^{2} \theta_{W}}$ 

La **corrente debole carica** è, dunque, mediata dallo scambio dei bosoni vettori W<sup>±</sup> e prevede **un'interazione di tipo V-A:** 

$$\overline{\nu_{l,L}} \gamma^{\mu} l_L = \frac{1}{2} \overline{\nu_l} \gamma^{\mu} (1 - \gamma_5) l$$

Corrente debole neutra per il neutrino

$$\mathcal{L}_{\rm NC} = -\frac{\sqrt{g^2 + {g^\prime}^2}}{2} Z_\mu \, \overline{\nu_{lL}} \, \gamma^\mu v_{\rm IL} = -\frac{g}{2 \cos \theta_W} Z_\mu \, \overline{\nu_{lL}} \, \gamma^\mu v_{\rm IL} \, , \label{eq:local_local$$

con g' costante di accoppiamento di U(1) di ipercarica.

• Dunque nel Modello Standard non si può costruire un term<u>ine</u> di massa di Dirac per il neutrino, che dovrebbe avere la forma : m  $\psi_{\rm R}$   $\psi_{\rm L}$ 

...... eppure ......

## Fisica dei neutrini: risultati sperimentali

#### ...eppure i neutrini hanno massa

Prova (indiretta ma inconfutabile) fornita dalle oscillazioni.

Fenomeno quantistico possibile perché esistono almeno 2 diversi autostati di massa e gli autostati di sapore  $(\nu_e, \nu_\mu, \nu_\tau)$  non coincidono con gli autostati di massa e, dunque, con gli autostati dell'Hamiltoniana (che determina l'evoluzione dei neutrini dal punto di produzione a quello di interazione).

#### - Oscillazioni provate con neutrini da diverse sorgenti:

```
atmosferici e acceleratori LBL: oscillazione \nu_{\mu}-\nu_{\tau}
```

(Nobel 2015 a Kajita, SuperKamiokande T2K);

**solari e reattori** : oscillazioni di  $v_e$ - $v_X$  ed analoga per antineutrini elettronici.

Tra esperimenti sui solari, **ruolo particolare di SNO**: osservando simultaneamente canali sensibili a diversi ``sapori'', fornisce la prova definitiva che il flusso totale di neutrini è in accordo con le previsioni dei Modelli Solari (SSM), ma il flusso di  $\nu_e$  è inferiore alle previsioni, perché parte dei neutrini hanno subito una oscillazione  $\rightarrow$  Nobel 2015 ad A. Mc Donald.

Esperimenti sulle oscillazioni sono sia di disappearing che di appearing.

#### Sorgenti di neutrini utilizzate per studio oscillazioni

Sorgente v	Flavour	Distanza <i>L</i>	Energia v	Minimo Δm² accessibile
Sole	$v_{\rm e}$	~1.5 x 10 <sup>8</sup> km	0.2 –15 MeV	$\sim 10^{-11}  \mathrm{eV^2}$
Raggi cosmici	$\frac{\nu_{\mu}}{\overline{\nu}_{\mu}}\frac{\nu_{e}}{\overline{\nu}_{e}}$	10 km – 13000 km	0. 2 GeV – 100 GeV	$\sim 10^{-4}  \mathrm{eV^2}$
Reattori nucleari	$\overline{\mathbf{v}}_{\mathrm{e}}$	20 m – 250 km	<e>≈ 3 MeV</e>	$\sim 10^{-1} - 10^{-6} \text{ eV}^2$
Acceleratori	$\frac{\nu_{\mu}}{\overline{\nu}_{\mu}}\frac{\nu_{e}}{\overline{\nu}_{e}}$	15 m – 730 km	20 MeV – 100 GeV	$\sim 10^{-3} - 10 \text{ eV}^2$

#### EVIDENZA/INDIZI DI OSCILLAZIONI

- Deficit di neutrini solari: scomparsa di v<sub>e</sub> tra il Sole e la Terra Evidenza convincente, misura dei parametri di oscillazione, conferma da un esperimento con reattori nucleari
- Scomparsa di ν<sub>μ</sub> di origine "atmosferica" su distanze dell'ordine del diametro terrestre
   Evidenza convincente, misura dei parametri di oscillazione, conferma da esperimenti con acceleratori
- Esperimento LSND a Los Alamos: eccesso di  $\overline{\nu}_e$  in un fascio di  $\nu_\mu$ ,  $\overline{\nu}_\mu$ ,  $\nu_e$  NON CONFERMATO

Risultati più recenti (post 2012), con neutrini da acceleratori LBL e da reattori medium and short baselines, descritti più avanti

### I neutrini atmosferici

• I **primi indizi** a favore dell'ipotesi di **oscillazione** di sapore per i neutrini si sono ottenuti con lo studio dei **neutrini atmosferici e** di quelli **solari**.

### I neutrini atmosferici

• Il decadimento di particelle cariche (principalmente  $\pi$  e K) che costituiscono i raggi cosmici produce nell'atmosfera grandi quantità di neutrini sia di tipo  $\mu$  che di tipo e.

Range: E tra 0.1 e 100 GeV,  $L \approx \text{tra } 10 \text{ e } 13000 \text{ km}$ .

- Il rapporto tra  $\nu_{\mu}$  e  $\nu_{e}$  è noto abbastanza bene, così come la dipendenza dall'energia.
- Dagli anni '80 diversi esperimenti, tra cui IMB, Soudan, MACRO (a G. Sasso) e, soprattutto, Kamiokande e SuperKamionde (SK) (in Giappone).

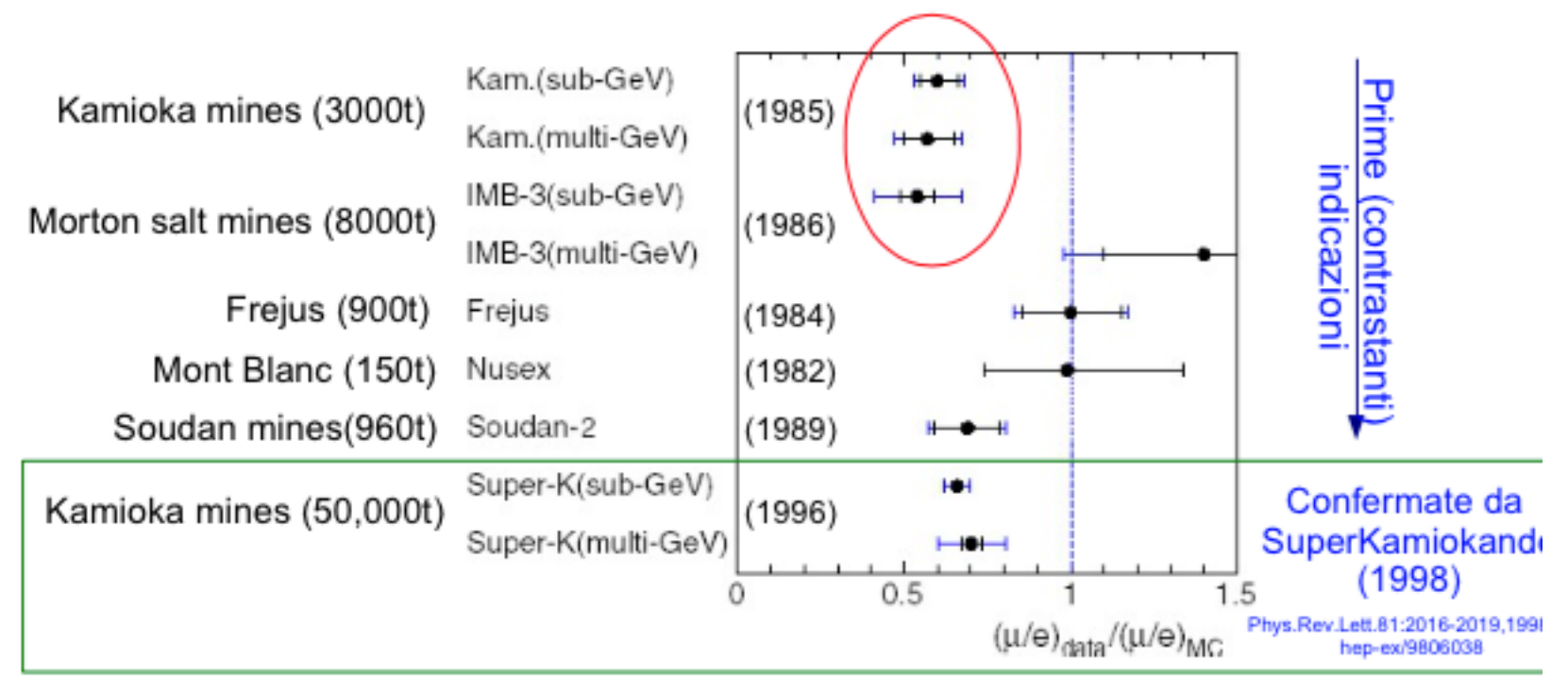
# I neutrini atmosferici e le oscillazioni

Dalla metà degli anni '90 (grazie soprattutto ai risultati di SK) sappiamo che:

- 
$$R \equiv \frac{(v_{\mu/v_e})_{\text{Misurato}}}{(v_{\mu/v_e})_{\text{Teorico}}} \cong 2/3;$$

- Osservazione asimmetria up-down: riduzione del flusso di neutrini muonici che attraversano la Terra
  - $\rightarrow$  Evidenza di oscillazione di  $\nu_{\mu}$  in neutrino non elettronico.

## νμ/νe Ratio (of Ratios)



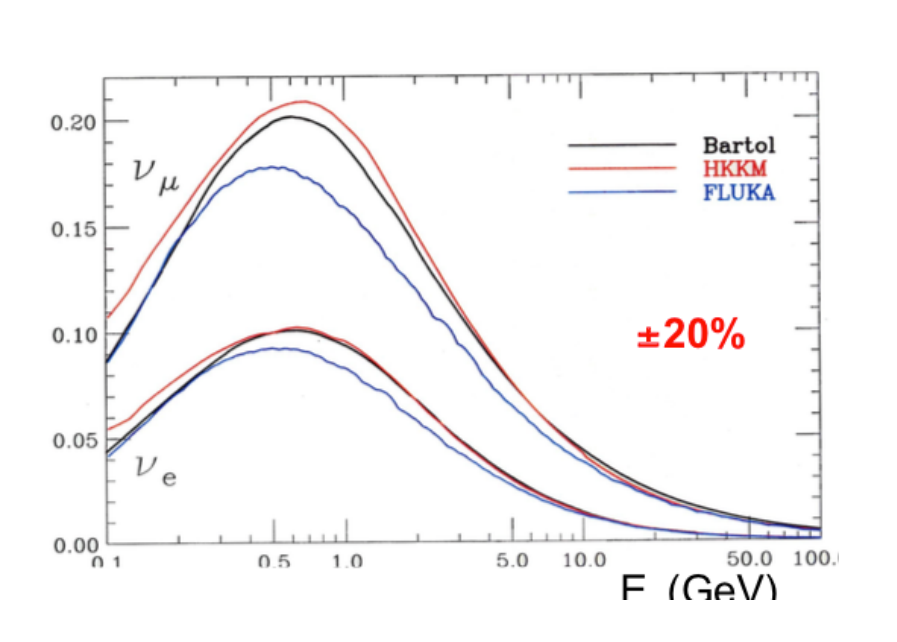
Prima indicazione del deficit di νμ dal rapporto νμ/νe (Kamiokande)

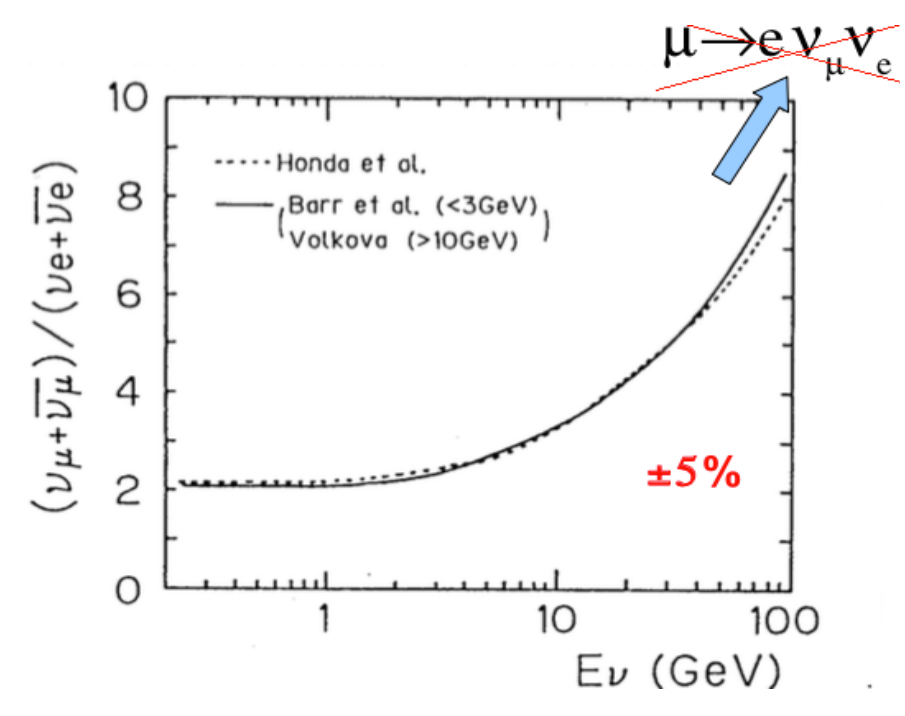
Indicazioni contrastanti negli anni '80

Osservazione dell'asimmetria up-down (Super-Kamiokande, 1998)

# Approfondimenti sui neutrini atmosferici

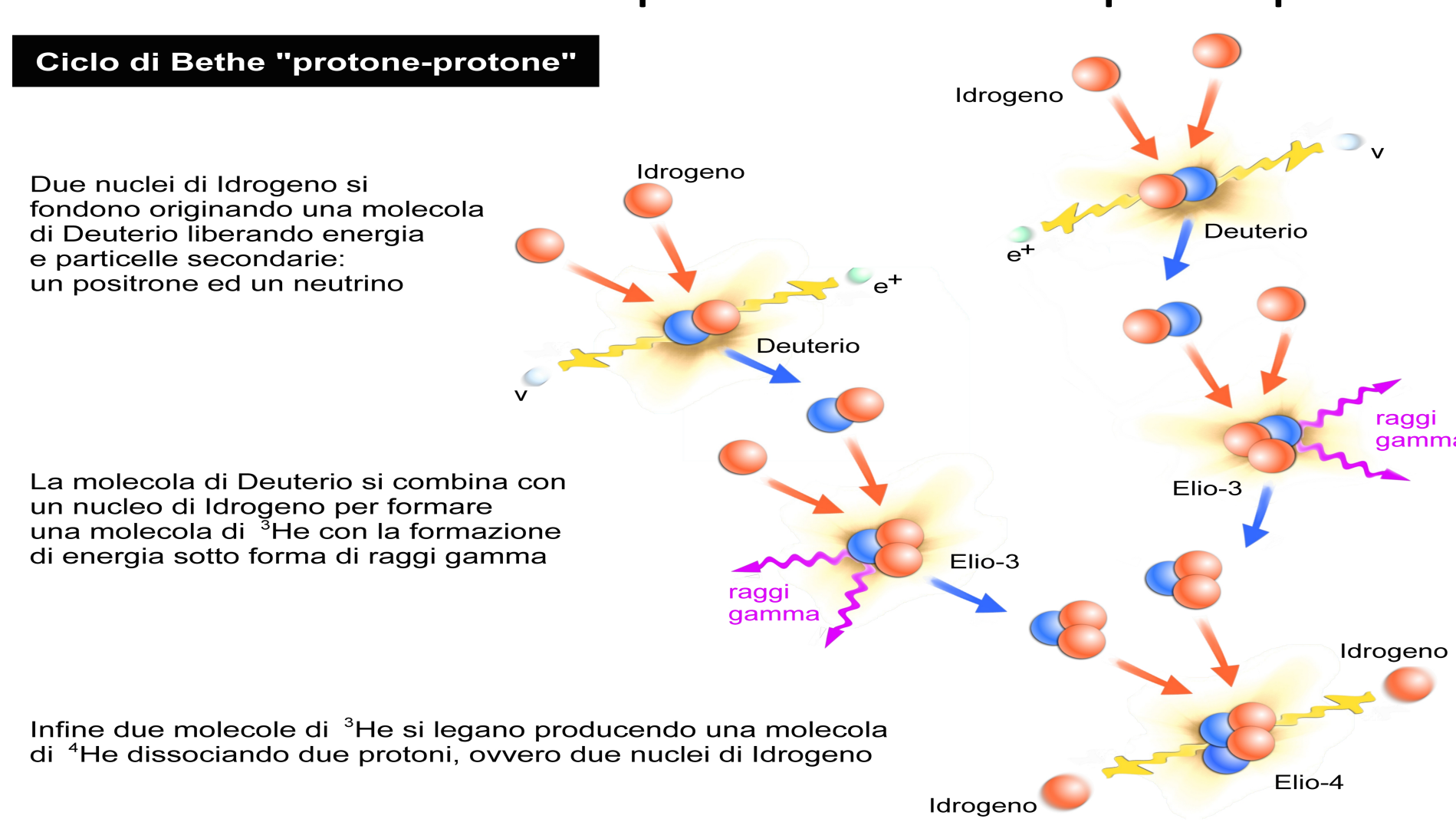
• Flussi  $v_{\mu}$  e  $v_{e}$  e rapporto dei flussi teorico.



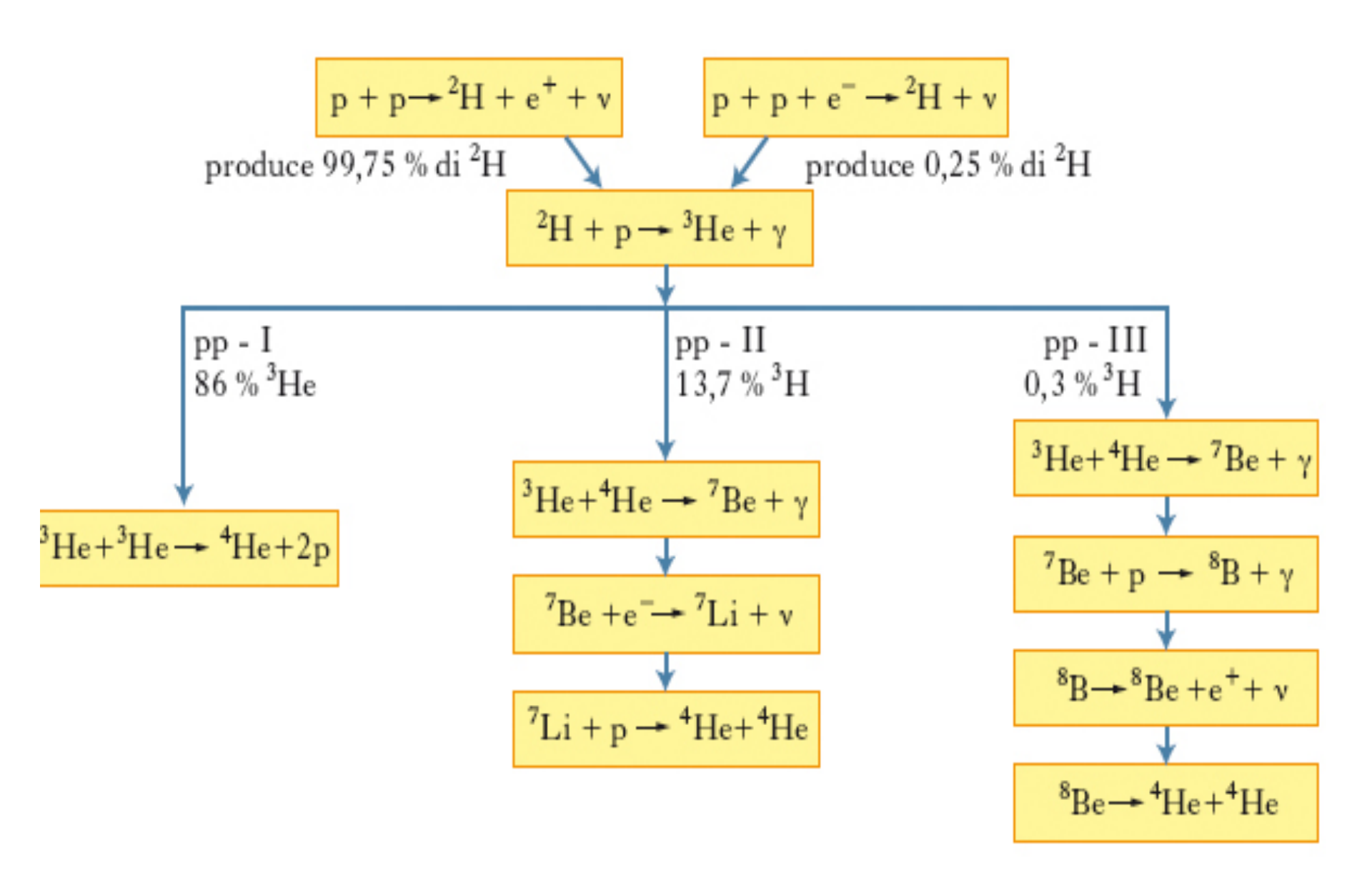


### La fusione nel sole: la catena p-p (protone-protone)

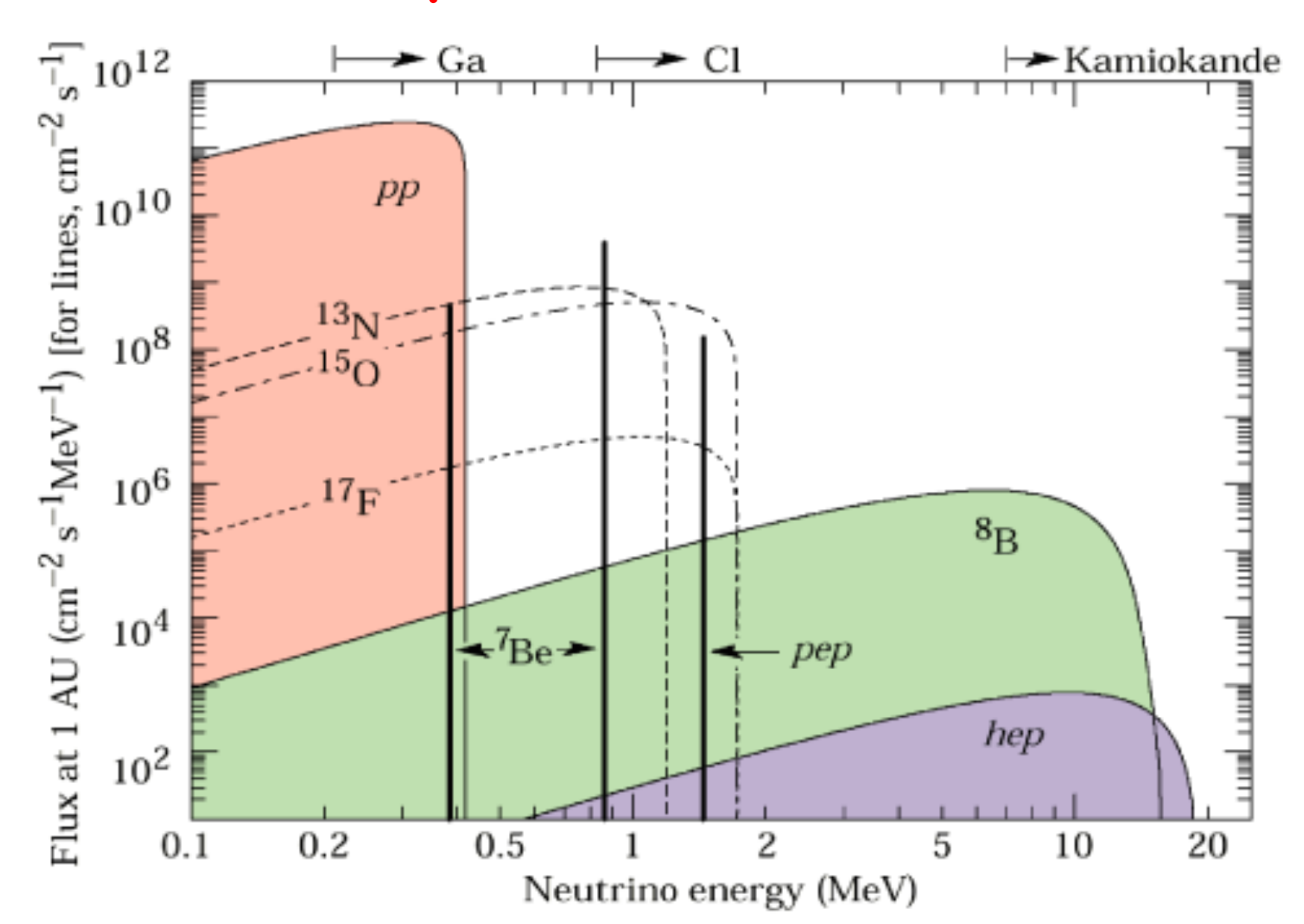
- Due processi di fusione nel Sole; entrambi prevedono emissione di neutrini.
- catena protone-protone (processo principale): v rivelati e studiati
- ciclo CNO (importante per stelle + massicce): per ora solo limiti superiori su flussi  ${f v}$ 
  - Descrizione schematica dei primi stadi della catena protone-protone



# Schema della catena p-p



# Spettro neutrini solari



### Cenni sulla storia dei neutrini solari

(per trattazione più dettagliata di questo tema si vedano le lezioni di L. Miramonti)

#### Solar $\nu$ Experiments

- End '60th: 1st solar  $\nu$  flux measure at Homestake ( $^{37}Cl + \nu_e \rightarrow ^{37}Ar + e^-; E \simeq 0.81 MeV$ ) ( $\nu$  da  $^{8}B, ^{7}Be, pep, hep)$ 
  - $-\nu$  deficit  $\geq 60\%$
  - What happens to ν on their way from Sun to Earth?
  - May the Solar Standard Model (SSM) be wrong?
- Other experiments with gallium  $\beta$  decay: Sage and Gallex/GNO

 $(E_{thresh.} \simeq 233 KeV$ ; sensitive also to pp neutrinos)

- Confirmation of Homestake: measured signal only 55% of the expected one
- Theoretical implications of ν oscillations: new physics signal?
- End '90th Kamiokande and SK:  $\nu_e e^-$  elastic scattering in  $H_2O$  (sensitive only to  $\nu$  from <sup>8</sup>B ed hep)
  - confirmation of  $\nu_e$  flux deficit. Study of "day-night" asymmetries, spectrum distortion and seasonal variation of the signal  $\Rightarrow$  constraints on mixing parameters
- 2001: 1st data from SNO (CC e ES)
- 2002: New data from SNO (including NC)

# Richiami su SNO SNO

#### v Reactions in SNO



$$v_x + e^- \Rightarrow v_x + e^-$$

- Both SK, SNO
- Mainly sensitive to  $v_e$ , less to  $v_u$  and  $v_\tau$
- Strong directional sensitivity



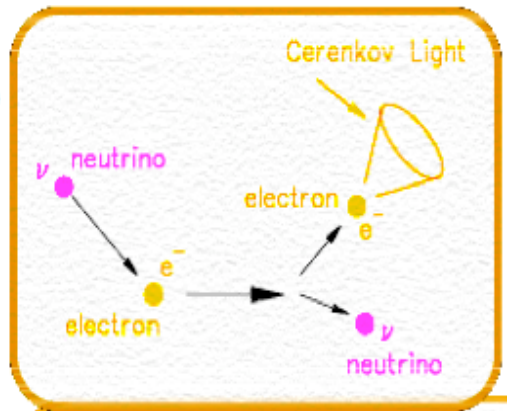
$$cc v_e + d \Rightarrow p + p + e^-$$

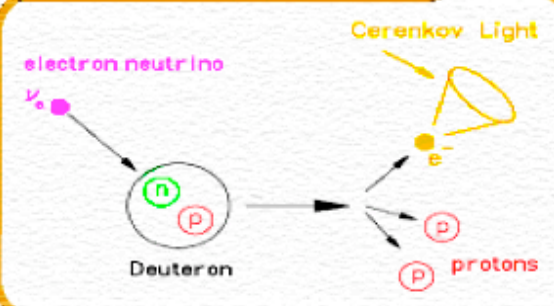
- Good measurement of  $v_e$  energy spectrum
- Weak directional sensitivity  $\propto 1-1/3\cos(\theta)$

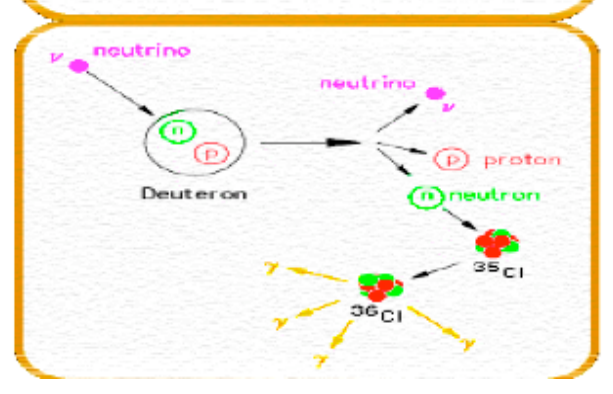


$$v_x + d \Rightarrow p + n + v_x$$

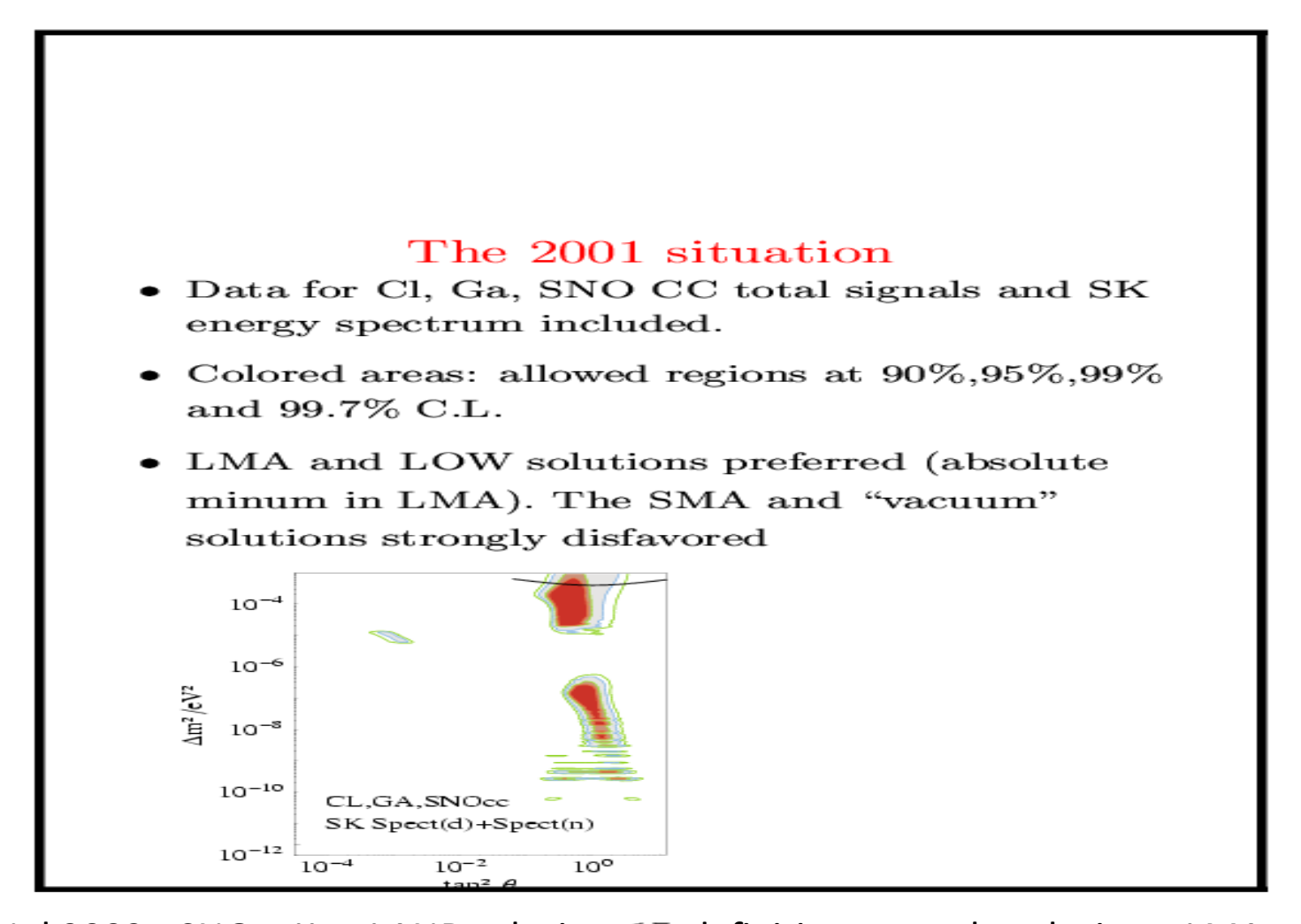
- Measure total 8B v flux from the sun.
  - Equal cross section for all v types







L'analisi globale dei diversi esperimenti sui neutrini solari aveva portato a selezionare diverse possibili regioni nello spazio dei parametri  $\sin^2\Theta_{12}$ ,  $\Delta m^2_{21}$  e prima della pubblicazione dei risultati di SNO sulle correnti neutre e di quelli dell'esperimento KamLAND (LBL reattori), sopravvivevano ancora diverse possibili soluzioni



Nel 2002 : SNO e KamLAND selezionaกัด definitivamente la soluzione LMA

# Neutrino mixing

$$\left| \mathbf{v}_{\alpha} \right\rangle = \sum_{i=1}^{3} \mathbf{U}_{\alpha i} \left| \mathbf{v}_{i} \right\rangle$$

con U matrice unitaria  $UU^{\dagger} = U^{\dagger}U = I$ , almeno 3x3 (nel caso di soli sapori attivi).

La matrice di mixing U (matrice PMNS), nel caso 3 x 3 può essere scritta nella forma:

$$\mathsf{U} = \begin{pmatrix} \cos\theta_{12} \cos\theta_{13} & \sin\theta_{12} \cos\theta_{13} & \sin\theta_{13} e^{-\mathrm{i}\delta.} \\ -\sin\theta_{12} \cos\theta_{23} - \cos\theta_{12} \sin\theta_{23} \sin\theta_{13} e^{\mathrm{i}\delta} & \cos\theta_{12} \cos\theta_{23} - \sin\theta_{12} \sin\theta_{23} \sin\theta_{13} e^{\mathrm{i}\delta} & \sin\theta_{23} \cos\theta_{13} \\ \sin\theta_{12} \sin\theta_{23} - \cos\theta_{12} \cos\theta_{23} \sin\theta_{13} e^{\mathrm{i}\delta} & -\cos\theta_{12} \sin\theta_{23} - \sin\theta_{12} \cos\theta_{23} \sin\theta_{13} e^{\mathrm{i}\delta} & \cos\theta_{23} \cos\theta_{13} \end{pmatrix}$$

$$U_{1} = \begin{pmatrix} 1 & 0 & 0 \\ 0 & \cos\theta_{23} & \sin\theta_{23} \\ 0 & -\sin\theta_{23} & \cos\theta_{23} \end{pmatrix} \quad U_{2} = \begin{pmatrix} \cos\theta_{13} & 0 & \sin\theta_{12}e^{-i\delta} \\ 0 & 1 & 0 \\ -\sin\theta_{13}e^{i\delta} & 0 & \cos\theta_{13} \end{pmatrix} \quad U_{3} = \begin{pmatrix} \cos\theta_{12} & \sin\theta_{12} & 0 \\ -\sin\theta_{12} & \cos\theta_{12} & 0 \\ 0 & 0 & 1 \end{pmatrix}$$

### **Neutrino mixing 2**

Gli autostati di massa per il neutrino sono autostati di energia e dunque soluzioni dell'equazione agli autovalori :  $i \frac{\partial}{\partial t} |v_i(\vec{x},t)\rangle = E |v_i(\vec{x},t)\rangle$ .

Dunque, uno stato rappresentato al tempo t=0 dalla funzione d'onda  $|v_i(0,0)>$  evolverà e al tempo t si potrà scrivere come :

$$|v_i(\vec{x},t)\rangle = e^{-ipx}|v_i(0,0)\rangle = \exp[-i(Et-\vec{p}\vec{x})]|v_i(0,0)\rangle.$$

Un neutrino prodotto con un sapore definito (ad es. un neutrino elettronico prodotto nei processi di fusione nucleare nel sole è in realtà una miscela quantistica di autostati di massa differenti  $|v_i\rangle$  (con un peso nella miscela determinato dagli elementi della matrice di mixing  $U_{ei}$ ), ognuno dei quali evolve differentemente dagli altri autostati mentre il neutrino si propaga dal punto di produzione (dentro il sole) al punto di rivelazione (sulla terra).

Un neutrino di sapore  $\alpha$  nella posizione  $\vec{x}$  al tempo t è rappresentato dalla funzione d'onda:

 $|v_{\alpha}(\vec{x},t)\rangle = \sum_{k=1}^{n_k} U_{\alpha k} e^{-ipx} |v_k(0,0)\rangle$ , con  $n_k$  = numero di autostati di massa per il neutrino.

Per il calcolo delle probabilità di oscillazione (a partire dalle espressioni degli autostati di sapore e delle matrici di mixing) si rimanda alle lezioni tenute da V. Antonelli

### Cosa conosciamo con certezza (a)

Prove dell'esistenza delle oscillazioni

Esperimenti su oscillazioni sono sia di disappearing che di appearing.

- Esperimenti di appearing con acceleratori LBL
- 1. Fascio Cern- Gran Sasso (Esperimenti ICARUS e OPERA)

Fascio CNGS di  $v_u$  con  $\langle E \rangle \cong 13$  GeV e LBL di  $\approx 760$  km.

- Opera: Ricerca di oscillazione  $v_{\mu}$  ->  $v_{\tau}$ . 5 eventi candidati: significatività >  $5\sigma$
- 2. T2K (Giappone)
- Fascio di  $\nu_{\mu}$  (od anti- $\nu_{\mu}$ ) prodotto a JPARK (Tokai) e rivelato a SuperKamiokande (Kamioka), baseline di 295 km.
- 3. NOvA (Stati Uniti). LBL off axis con fascio prodotto a Fermilab e studiato ad Ash River, MN ( L ≈810 km)

### T2K e NOVA

• T2K (Kajita, premio Nobel 2015 appartiene a collaborazione)

Da 2010 a 13 studio di disappearance  $~\nu_{\mu}$  (parametri atmosferici) e di comparsa di  $\nu_{e}$  in fascio di  $~\nu_{\mu}$ .

Oscillazione  $v_{\mu}$  ->  $v_{e}$ : 28 eventi candidati, significatività a 7.5  $\sigma$  di  $\theta_{13} \neq 0$ . Da maggio '14 a giugno '15 studio canale antineutrini muonici. Oscillazioni: conferma di risultati ottenuti con fascio neutrini; osservati anche eventi di comparsa di  $\overline{v_{e}}$  in fascio di  $\overline{v_{\mu}}$ , ma segnali di asimmetria (da confermare) tra l'oscillazione  $v_{\mu}$  ->  $v_{e}$  e quella  $\overline{v_{\mu}} \rightarrow \overline{v_{e}}$ .

#### • NOvA:

- $v_{\mu}$  disappearance (conferma e studio di parameteri atmosferici)
- Appearance di  $v_e$  : oltre a  $\theta_{23}$  studio di  $\theta_{13}$  e  $\delta_{\text{CP}}$  e di gerarchia di massa
- Deficit di eventi di Neutral current? Possibile indicazione di neutrino sterile.

# Cosa conosciamo con certezza (b)

 Consistenza generale dei modelli fenomenologici che descrivono le oscillazioni, includendo anche gli effetti di interazione con la materia.

 Necessità teorica di andare aldilà del Modello Standard delle interazioni elettrodeboli (o almeno di sua versione minimale) per spiegare la massa del neutrino.

# Cosa conosciamo con certezza (c)

Dai dati sperimentali: almeno 2 distinti valori di

$$\Delta m_{ij}^2 = m_i^2 - m_j^2$$

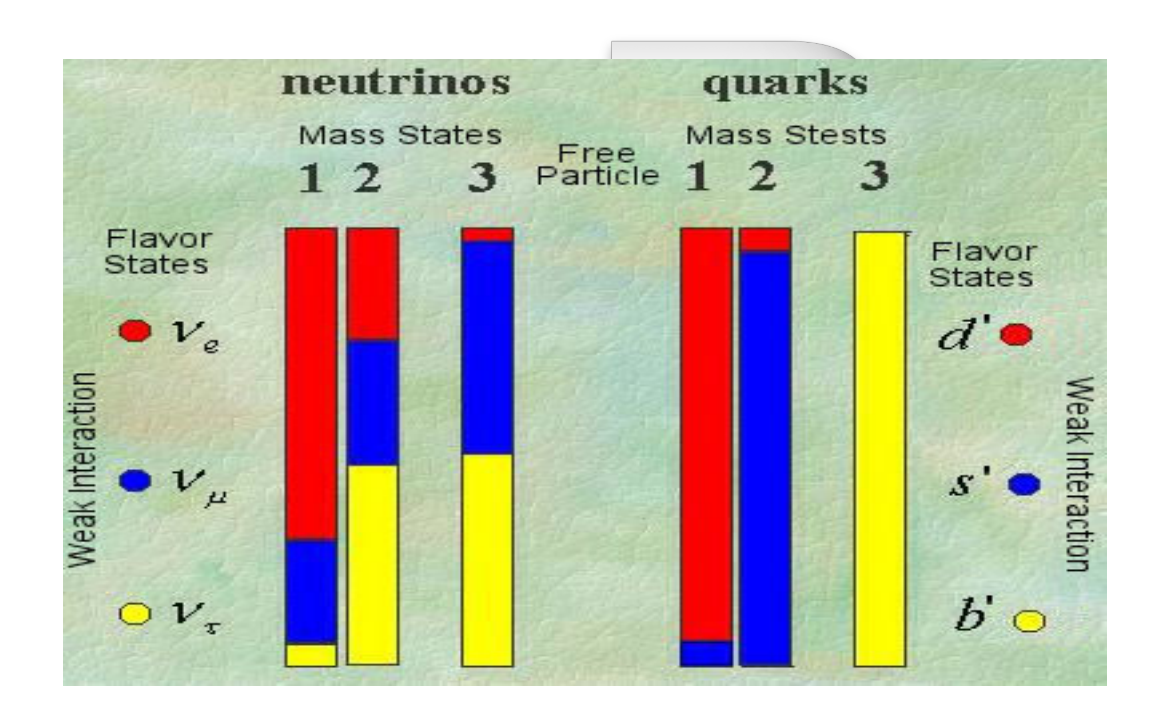
-  $\Delta m_{21}^2 = (7.54 \pm 0.02) \times 10^{-5}$  neutrini solari e KamLAND;

$$|\Delta m_{31}^2| = (2.43 \pm 0.07) \times 10^{-3} \text{ eV}^{21}$$
 oscillazioni di atmosferici e LBL.

•Dunque esistono almeno 3 autostati di massa; 3 sono gli autostati di sapore di neutrini "attivi" (accordo coi dati di LEP e da cosmologia). Possibilità eventuale di neutrini sterili.

## Cosa conosciamo con certezza (d)

 Situazione molto diversa da quella del mescolamento tra i quarks: angoli relativamente grandi e mixing massimale (o quasi) tra 2ª e 3ª generazione.



Gli angoli di mixing sono tutti diversi da zero. Dopo lunga ricerca, è stato provato nel 2012 che anche θ<sub>13</sub> ≠ 0. Prova fornita (oltre che da T2K) da 3 esperimenti con antineutrini da reattori: Daya Bay, RENO e Double CHOOZ.

# Conferme di oscillazione e parametri di mixing

- L'ultimo angolo di mixing ad essere misurato è stato l'angolo tra la prima e la terza generazione dei neutrini  $(\theta_{13})$ .
- Fino al 2012 esisteva solo un limite superiore per il valore di quest'angolo (ottenuto principalmente dall'esperimento da reattore CHOOZ):  $\sin^2 2\theta_{13} < 0.17$  at 90% C.L..
- Le indicazioni più recenti (dallo studio di fasci di neutrini ad acceleratori LBL e da analisi fenomenologiche globali) erano a favore di un valore di  $\theta_{13} \neq 0$ , ma ...
- ... La prova definitiva (smoking gun) che  $\theta_{13} \neq 0$ :
  - 3 esperimenti da reattori SBL (baselines ≈2 km).

Ricerca di deficit in IBD da antineutrini elettronici (E from 1 to 8 MeV) da reattori.

### Esperimenti da reattori SBL e $\theta_{13}$

#### Daya Bay (Cina):

Fascio di antineutrini elettronici ( $\bar{\nu}_e$ ) da reattore con near (L  $\cong$  500 m) e far detector (L =1650 m). Probabilità di soppravvivenza per  $\bar{\nu}_e$ :

$$P_{ee} = 1 - \sin^2 2\theta_{13} \sin^2 \left( 1.267 \Delta m_{31}^2 \frac{L}{E} \right), \qquad \Delta m_{31}^2 = \Delta m_{32}^2 \pm \Delta m_{21}^2$$

Rapporto tra eventi da antineutrini osservati e attesi al far detector è:

R = 0.940 ± 0.011(stat) ± 0.004 (syst), corrispondente a 
$$\theta_{13} \neq 0$$
 a 5.2  $\sigma$  e :  $\sin^2 2\theta_{13} = 0.084 \pm 0.005$ 

RENO (Corea)

Near detector L = 294 m , far detector L=1383 m. Oscillazione a 4.9  $\sigma$   $\sin^2 2\theta_{13} = 0.101 \pm 0.008(stat) \pm 0.010(syst)$ 

• Double CHOOZ (Francia) L=1050 m. Simile ad altri 2 esperimenti, ma aggiunge anche analisi della forma dello spettro di antineutrino, insieme al rate del segnale. Trova:

$$\sin^2 2\theta_{13} = 0.090^{+0.032}_{-0.029}$$

#### Cosa vorremmo conoscere meglio

(parametri solo parzialmente noti e possibili anomalie)

#### Stato attuale di conoscenza dei parametri di massa e mixing

 $\Delta m^2 = m^2 m^2 \circ \Theta / \text{yodi +abolla}$ 

$\Delta m_{ij}^2 = m_{ij}^2 - m_{ij}^2 \in \theta_{ij}$ (vedi tabella)				
Parametro	Best fit and 1 $\sigma$ range	Principali esperimenti		
$\sin^2  heta_{12}$	0.308±0.017	Solari (in particolare SNO e SK), e in misura minore KamLAND		
$\sin^2\theta_{23}$	$0.567^{+0.032}_{-0.128}_{0.000}$ (NH) oppure $0.573^{+0.025}_{-0.043}$ (IH)	Atmosferici (principalmente SK), acceleratori LBL (MINOS, K2K, T2K) e reattori.		
sin² (2θ <sub>13</sub> )	0.091±0.009 (NH) oppure 0.093±0.009 (IH)	Reattori (Daya Bay, RENO, Double CHOOZ) e in misura minore LBL (T2K e MINOS)		
$\Deltam_{21}^2$	$(7.54^{+0.26}_{-0.22} \times 10^{-5})eV^2$	Principalmente KamLAND e solari (soprattutto SNO)		
$\Delta m^2_{atm} = \frac{1}{2}  \Delta m^2_{31} + \Delta m^2_{32} $	(2,43 ± 0,06)×10 <sup>-3</sup> eV <sup>2</sup> (NH) oppure (2,38 ± 0,06)×10 <sup>-3</sup> eV <sup>2</sup> (IH)	Atmosferici (principalmente SK) e acceleratori LBL (MINOS, K2K, T2K)		
δ/π	$1.34^{+0.64}_{-0.38}$ (NH) oppure $1.48^{+0.34}_{-0.32}$ (IH)	Acceleratori LBL (T2K, MINOS) e reattori.		

# Cosa vorremmo conoscere meglio (b)

- Problema della determinazione della gerarchia di massa.
- Importanza di misura di precisione dei vari parametri.
- Possibili miglioramenti con esperimenti presenti e futuri: possibilità di determinazione parametri con livello di incertezza ≤ 1%.
- Angoli e  $\Delta m^2$  misurabili a JUNO.

# Cosa vorremmo conoscere meglio (c)

- Studio di spettro e pattern di oscillazione -> Test dei modelli e ricerca di possibili "interazioni anomale" di neutrini.
- Studio fatto da acceleratori LBL e da solari.

Esistenza o meno di una anomalia nella regione di transizione tra vacuum e matter enhanced oscillations

Dati di SNO non riproducevano la forma attesa. I primi dati di SuperKamiokande sullo spettro nel 2014, invece, indicavano la presenza dell'upturn atteso nella zona di transizione, negli ultimi lavori e talk di SK però sembra di nuovo riaffiorare una possibile anomalia.

E' comunque auspicabile un aumento della statistica in questa regione di energie.

- Accenno a potenzialità di JUNO

# Cosa vorremmo conoscere meglio (d)

- Da fisica del neutrino: tests e miglioramento della conoscenza dei modelli solari.
- Misure più accurate di spettro solare a bassa energia ( $\nu$  pp e pep): importanza, difficoltà e potenzialità di esperimenti futuri (accenno a SNO+ ed eventualmente agli esperimenti multi-purpose di nuova generazione).
- Possibili misure future di neutrini CNO.
- Problema di metallicità e versioni low Z e high Z di SSM.

Accenno a possibilità future di JUNO .

# Cosa vorremmo conoscere meglio (e)

#### Problema delle anomalie

- Reactor anti- $\nu$  anomaly (deficit, di circa 2.8  $\sigma$ , in dati reattori SBL rispetto a calcoli teorici dei flussi);
- "Gallium anomaly" (deficit di circa 20% per  $v_e$  in misure di calibrazione di Gallex e SAGE);
- LSND anomaly (porterebbe ad un  $\Delta m^2$  di ordine di 1 eV<sup>2</sup>);
- Risultati contraddittori di MiniBoone.

### Risultati di LSND

- •Presa dati tra 1993 e 1998.
- •Risultati pubblicati in diversi momenti tra 1995 e 2001. Risultati globali nel 2001.
- Canale di oscillazione anti- $v_{\mu}$  in anti- $v_{e}$  Eccesso di 87.9±22.4±6.0 eventi corrispondente ad una probabilità di oscillazione (mediata sull'energia) di 0.264±0.067±0.045
- Contemporaneamente esperimento KARMEN prese dati con fascio analogo a Rutherford Laboratory, ma con baseline più corta (L =17.7 m). KARMEN non osservò oscillazione e in questo modo limitò lo spazio dei parametri possibili da LSND.

### Cosa non conosciamo

- Qual è la vera natura del neutrino? Fermione di Dirac o di Majorana?
- Ricerca di doppio decadimento  $\beta$  senza neutrino.
- Perché la massa del neutrino è cosi leggera → Quali modelli teorici descrivono correttamente la massa ?
- Qual è la scala assoluta delle masse?
- Studio di end point di decadimento  $\beta$ ; estrazione di valore masse da esperimenti di astrofisica (WMAP, Planck) .
- Qual è la gerarchia delle masse? Gerarchia diretta o inversa?
- → Impatto sui modelli teorici.
- Possibilità di testare la gerarchia: JUNO e RENO 50
- Esiste la violazione di CP nel settore leptonico?
- Condizione per avere CP violation e possibile verifiche sperimentali: collegamento con SOX.
- Esistono altre generazioni di neutrini (oltre alle 3 famiglie del modello Standard)?
- Possibili indicazioni in favore di neutrini sterili (anomalie già discusse ed indicazioni eventuali da astrofisica).
- Verifiche sperimentali: SOX.